

量子重力実験に向けた 時空創発リングの探索

素粒子理論家

物性実験家

竹田 大地(京都大学 素粒子論研究室 D1)

橋本幸士氏, 田中耕一郎氏, 米澤進吾氏との共同研究

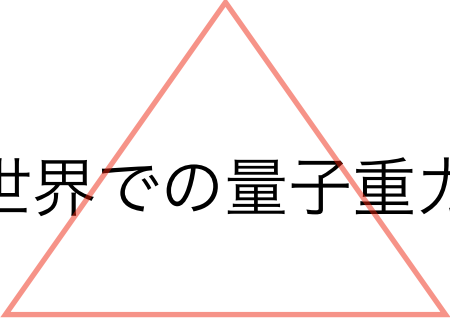
arXiv:2211.13863
に基づく

2022/12/15 @日本大学文理学部

この宇宙を相手に量子重力検証？

量子重力の定式化は未解明

理論の候補は知られている： 超弦理論、ループ量子重力....



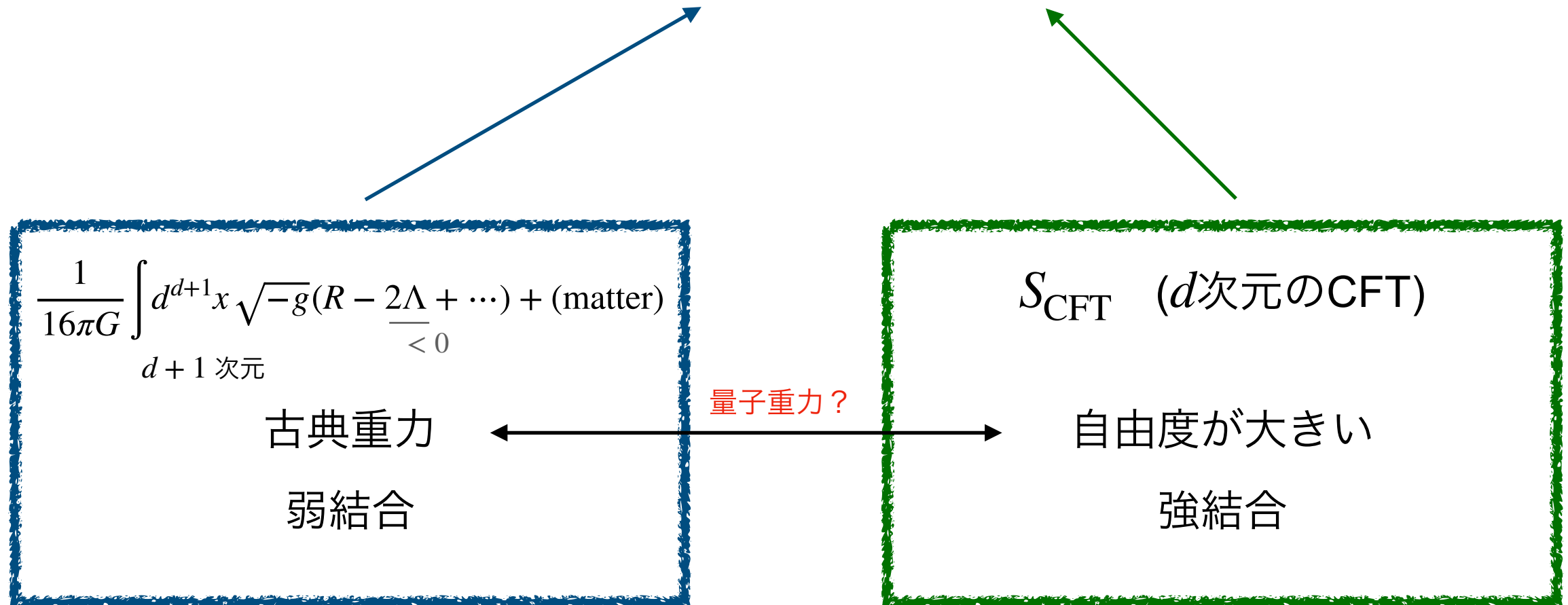
この世界での量子重力検証

問：なぜ検証ができない？

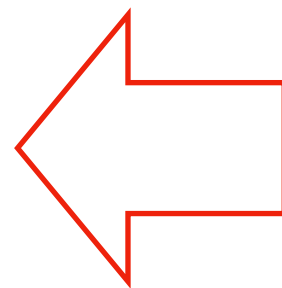
→ プランク長さが小さく、到達できない

扱える重力系を作る

AdS/CFT対応：重力系 ↔ 重力がない量子系



ホログラフィックに重力を扱う



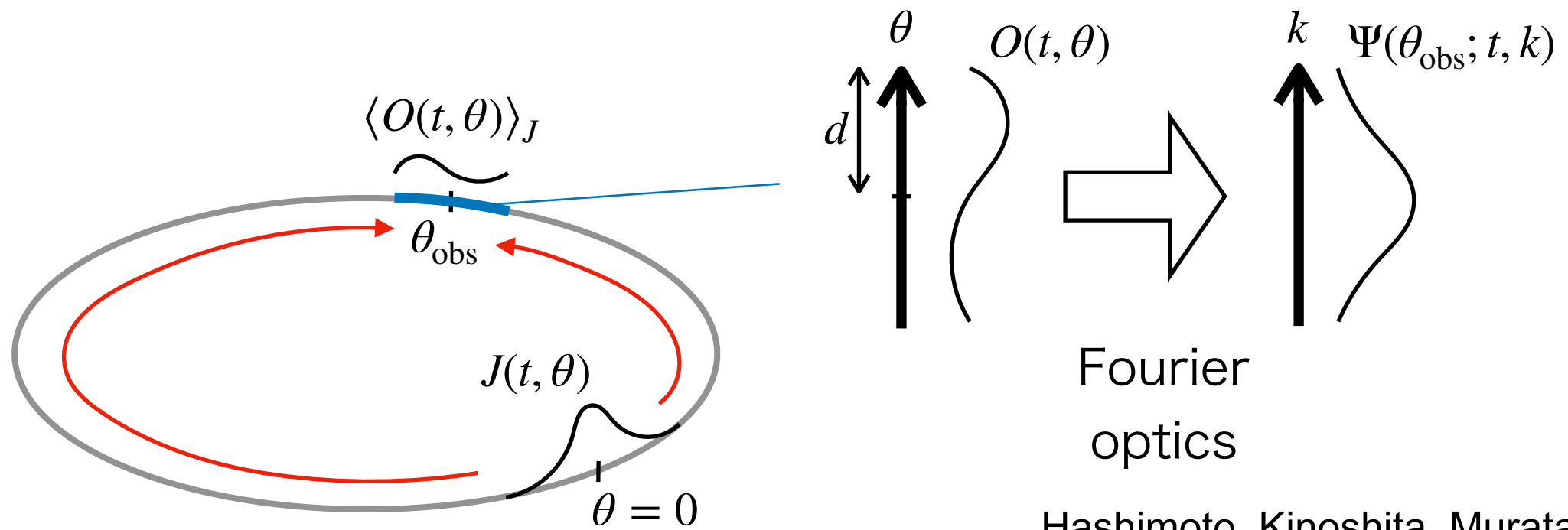
こちら側は量子臨界物質にありそう

時空創発物質(SEM)

spacetime-emergent material

光学イメージングでSEMを探索

AdS₃ / CFT₂ の場合にSEM探す



- 光学イメージングの結果にSEMのシグナルを発見
- 普通のスカラー場と比較
- 実験パラメータの見積もり

光学イメージングで、物性の中からSEMを判別

1. セットアップ

リング上のQFTに局所ソース、応答をイメージング

2. non-SEMモデルの応答

リング上のスカラー場で、金属/絶縁転移

3. SEMモデルの応答

バルクの自由スカラー場で、AdSソリトン/BTZ転移

4. イメージングの実行

AdSソリトンでは対蹠点が輝く！

光学イメージングで、物性の中からSEMを判別

1. セットアップ

リング上のQFTに局所ソース、応答をイメージング

2. non-SEMモデルの応答

リング上のスカラー場で、金属/絶縁転移

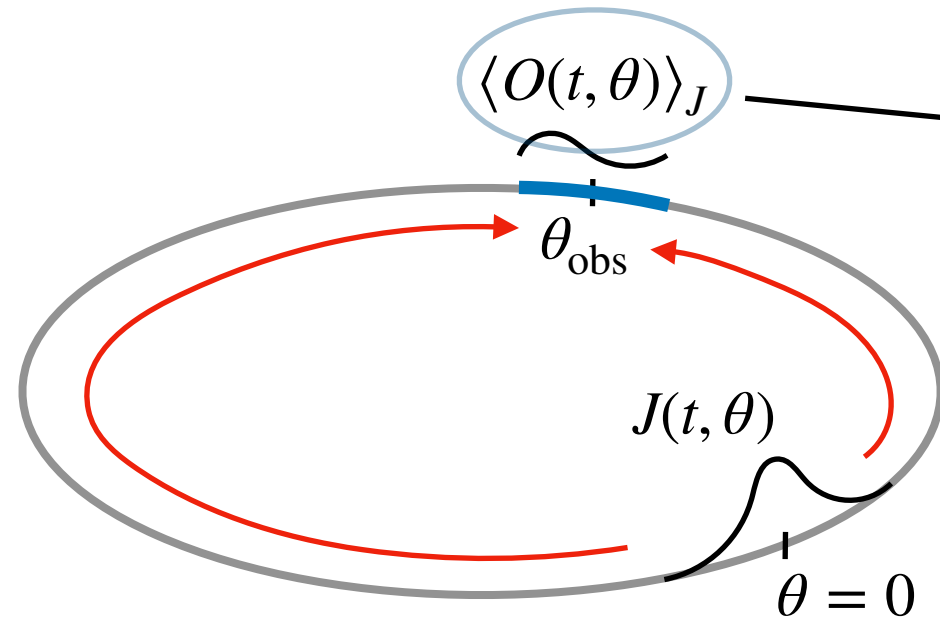
3. SEMモデルの応答

バルクの自由スカラー場で、AdSソリトン/BTZ転移

4. イメージングの実行

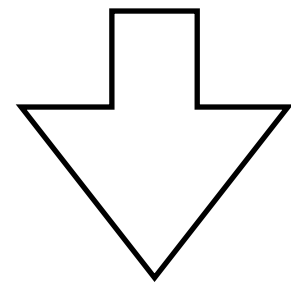
AdSソリトンでは対蹠点が輝く！

リング上に局所ソース、応答をイメージング

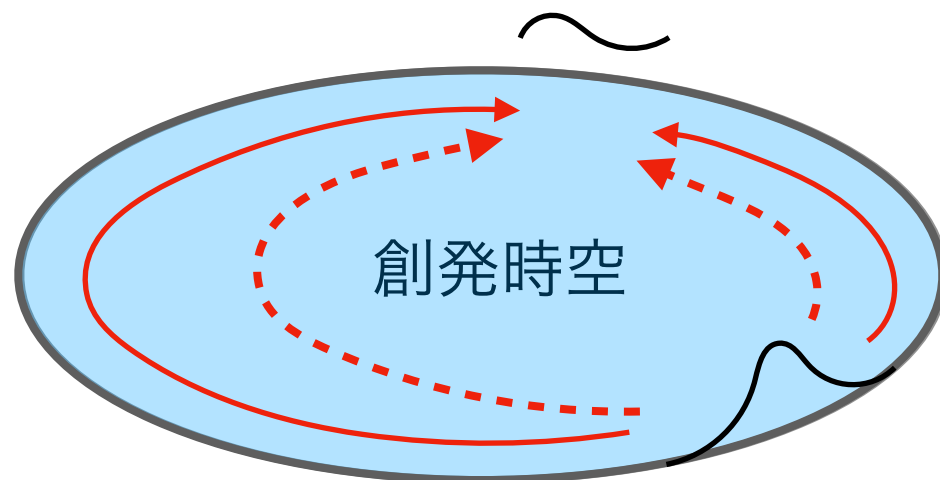


これをイメージング(後述)

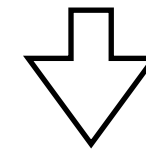
ソースはリング上を伝播する



SEMなら...



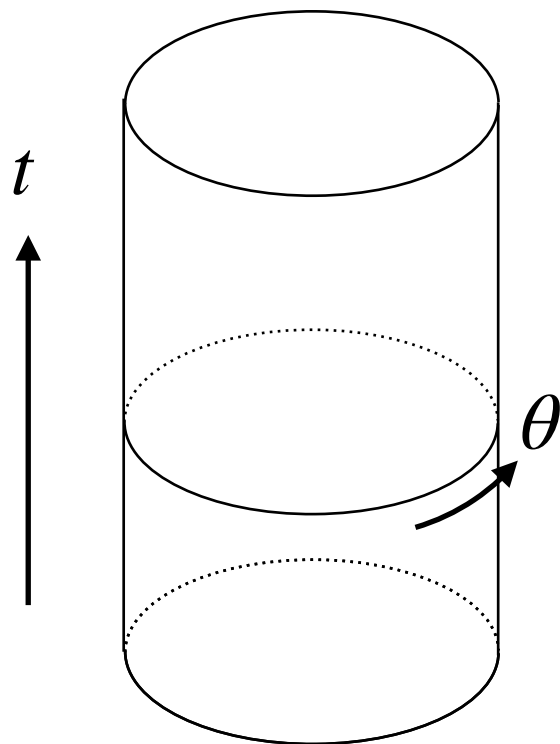
内部の曲がった時空上の古典理論で計算可



ソースがあたかも創発時空上を伝播

non-SEMモデル：リング上のスカラー場

$$S = \int d^2x \left(-\frac{1}{2} \partial_\mu \phi \partial^\mu \phi - \frac{m^2}{2} \phi^2 + J\phi \right)$$



$\mathbb{R} \times S^1$ 上にスカラー場を定義

$$\theta \sim \theta + a$$

EOM

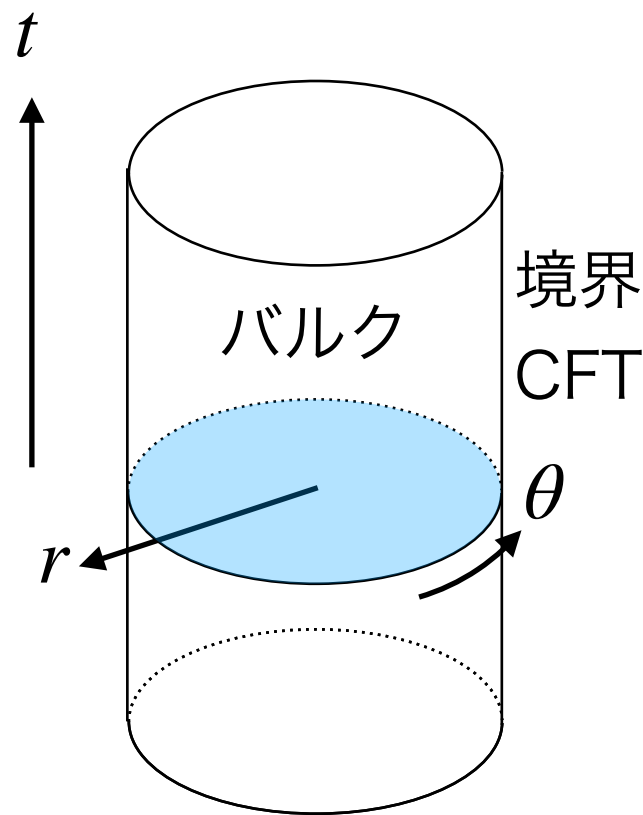
$$(\partial^2 - m^2)\phi = J$$

$$J \propto \underbrace{e^{-i\omega t}}_{\text{振動数は}\omega} \sum_n \underbrace{\exp\left(-\frac{(\theta - na)^2}{2\sigma^2 a^2}\right)}_{\theta \sim 0 \text{ に局在}}$$

SEMモデル：Einstein-Hilbert + 自由スカラー

$$S = \frac{1}{16\pi G} \int d^3x \sqrt{-g} (R - 2\Lambda) + \int d^3x \sqrt{-g} \left(-\frac{1}{2} \partial_M \Phi \partial^M \Phi \right)$$

(無質量)



円筒内部にスカラー場を定義

$$\theta \sim \theta + a$$

CFT = バルクの理論 + AdS/CFTの辞書

Φ を g_{MN} を固定して解く：

$$\frac{1}{\sqrt{-g}} \partial_M (\sqrt{-g} g^{MN} \partial_N \Phi(x)) = 0$$

AdS/CFTの辞書

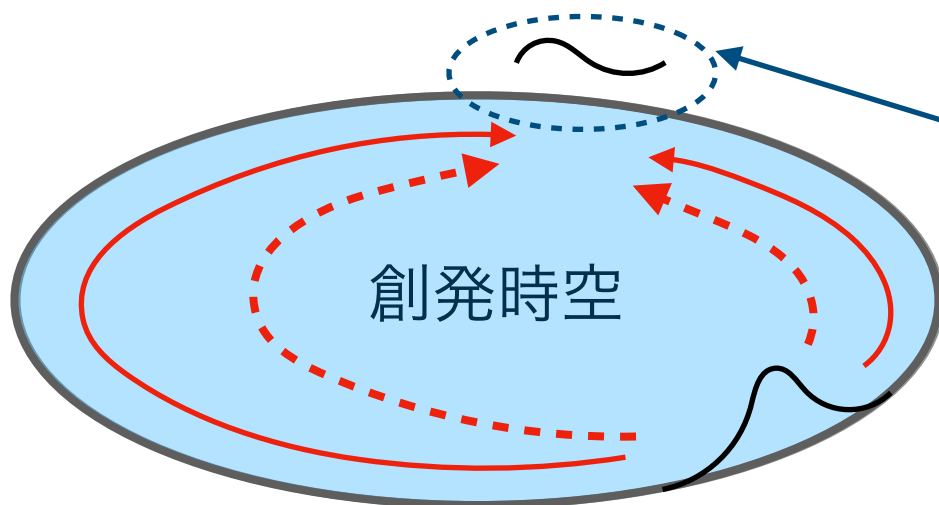
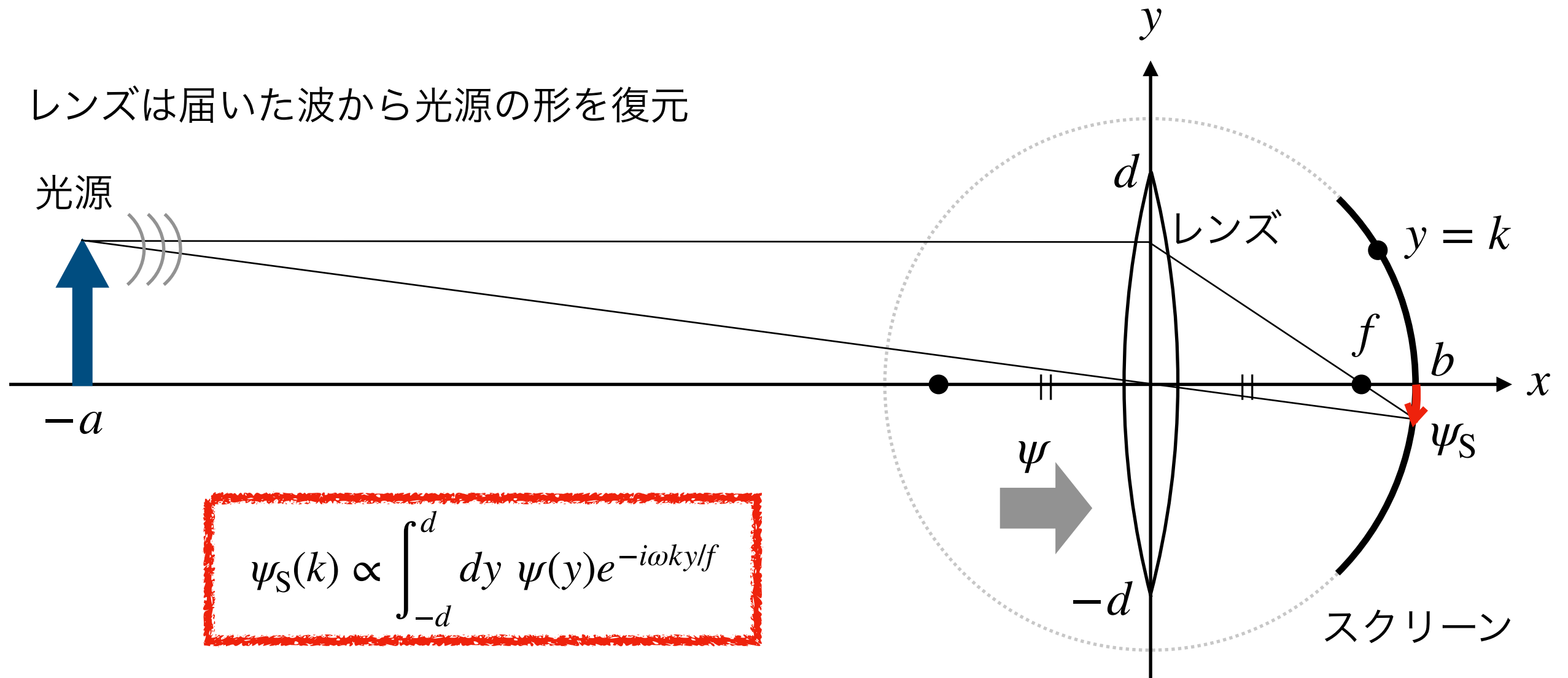
$$\Phi(x) \sim \underbrace{J(t, \theta)}_{\text{前と同じソース}} + \frac{O(t, \theta)}{r^2} \quad (r \rightarrow \infty)$$

応答

前と同じソース

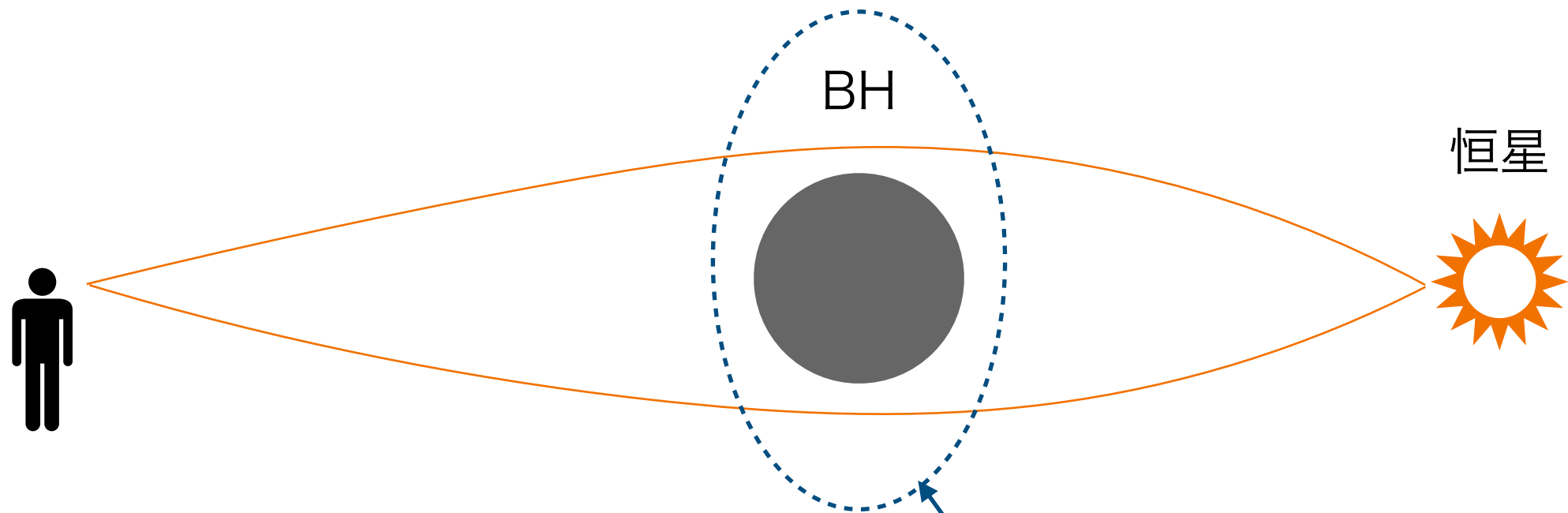
光学イメージングでバルクを覗く

レンズは届いた波から光源の形を復元



これをイメージング
→ 仮想時空をどう通ってきたか反映

例：Einsteinリング



目(レンズ)を通して見える像



重力レンズで見かけの光源を作る

目は見かけの光源の形を復元

レンズで曲がった時空の情報を読む

AdS BH : Hashimoto, Kinoshita, Murata (2018)

光学イメージングで、物性の中からSEMを判別

1. セットアップ

リング上のQFTに局所ソース、応答をイメージング

2. non-SEMモデルの応答

リング上のスカラー場で、金属/絶縁転移

3. SEMモデルの応答

バルクの自由スカラー場で、AdSソリトン/BTZ転移

4. イメージングの実行

AdSソリトンでは対蹠点が輝く！

EOMから強制振動を抽出

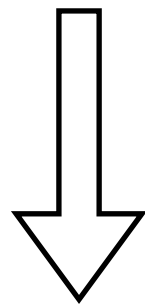
EOM

$$(\partial^2 - m^2)\phi = J$$

振動数は ω

$\theta \sim 0$ に局在

$$J \propto e^{-i\omega t} \sum_n \exp\left(-\frac{(\theta - na)^2}{2\sigma^2 a^2}\right)$$



強制振動項の取り出し

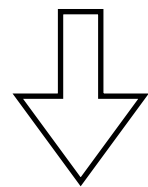
$$\phi = e^{-i\omega t} \tilde{\phi}(\theta)$$

$$[\partial_\theta^2 - (m^2 - \omega^2)] \tilde{\phi} = C \sum_n \exp\left(-\frac{(\theta - na)^2}{2\sigma^2 a^2}\right)$$

Green関数：金属/絶縁転移

$$\phi = e^{-i\omega t} \tilde{\phi}(\theta)$$

$$[\partial_\theta^2 - (m^2 - \omega^2)] \tilde{\phi} = C \sum_n \exp\left(-\frac{(\theta - na)^2}{2\sigma^2 a^2}\right)$$



Green関数

$$[\partial_\theta^2 - (m^2 - \omega^2)] G(\theta - \theta') = \sum_n \delta(\theta - \theta' - na)$$

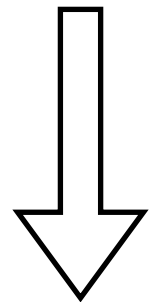
$$G(\theta - \theta') = \frac{1}{a} \sum_n \frac{e^{ik_n(\theta - \theta')}}{k_n^2 + (m^2 - \omega^2)} \quad \left(k_n = \frac{2\pi n}{a}\right)$$

m と ω の兼ね合い

non-SEMの応答関数

Green関数を使って

$$\tilde{\phi}(\theta) = \int d\theta' G(\theta - \theta') \left[C \sum_n \exp\left(-\frac{(\theta' - na)^2}{2\sigma^2 a^2}\right) \right]$$



$$\phi(t, \theta) = \frac{1}{2} \sum_n \frac{e^{-2\pi^2 \sigma^2 n^2}}{k_n^2 + m^2 - \omega^2} e^{-i\omega t + ik_n \theta}$$

光学イメージングで、物性の中からSEMを判別

1. セットアップ

リング上のQFTに局所ソース、応答をイメージング

2. non-SEMモデルの応答

リング上のスカラー場で、金属/絶縁転移

3. SEMモデルの応答

バルクの自由スカラー場で、AdSソリトン/BTZ転移

4. イメージングの実行

AdSソリトンでは対蹠点が輝く！

AdSソリトン/BTZ 転移

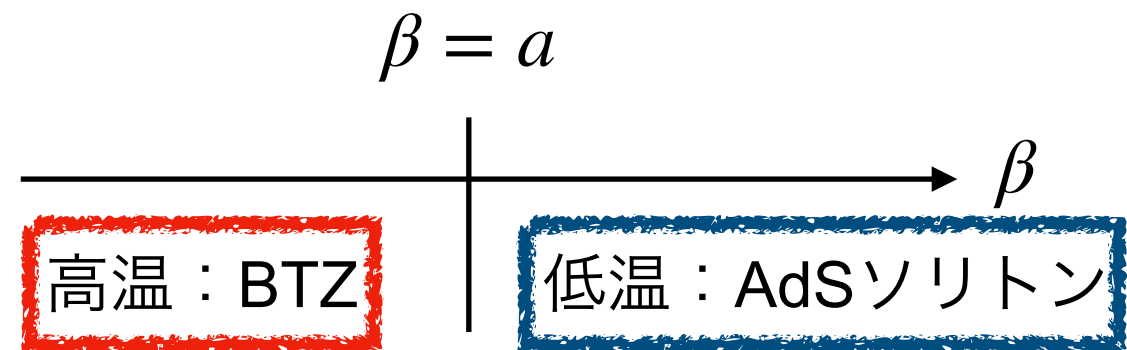
CFT₂ の対称性 : SO(2,2) \longrightarrow トーラス上のCFT₂ : SO(2,2)/ $\Gamma_a \times \Gamma_\beta$

$$\begin{aligned} \Gamma_a : \theta &\sim \theta + a \\ \Gamma_\beta : \tau &\sim \tau + \beta \end{aligned}$$

最大対称 SO(2,2) を離散並進で割る

Poincaré AdS₃, AdS₃ソリトン, BTZ

自由エネルギーの比較



$$\text{BTZ} : ds^2 = -\frac{r^2 - r_h^2}{L^2} dt^2 + \frac{L^2}{r^2 - r_h^2} dr^2 + r^2 d\theta^2$$

特異性の排除

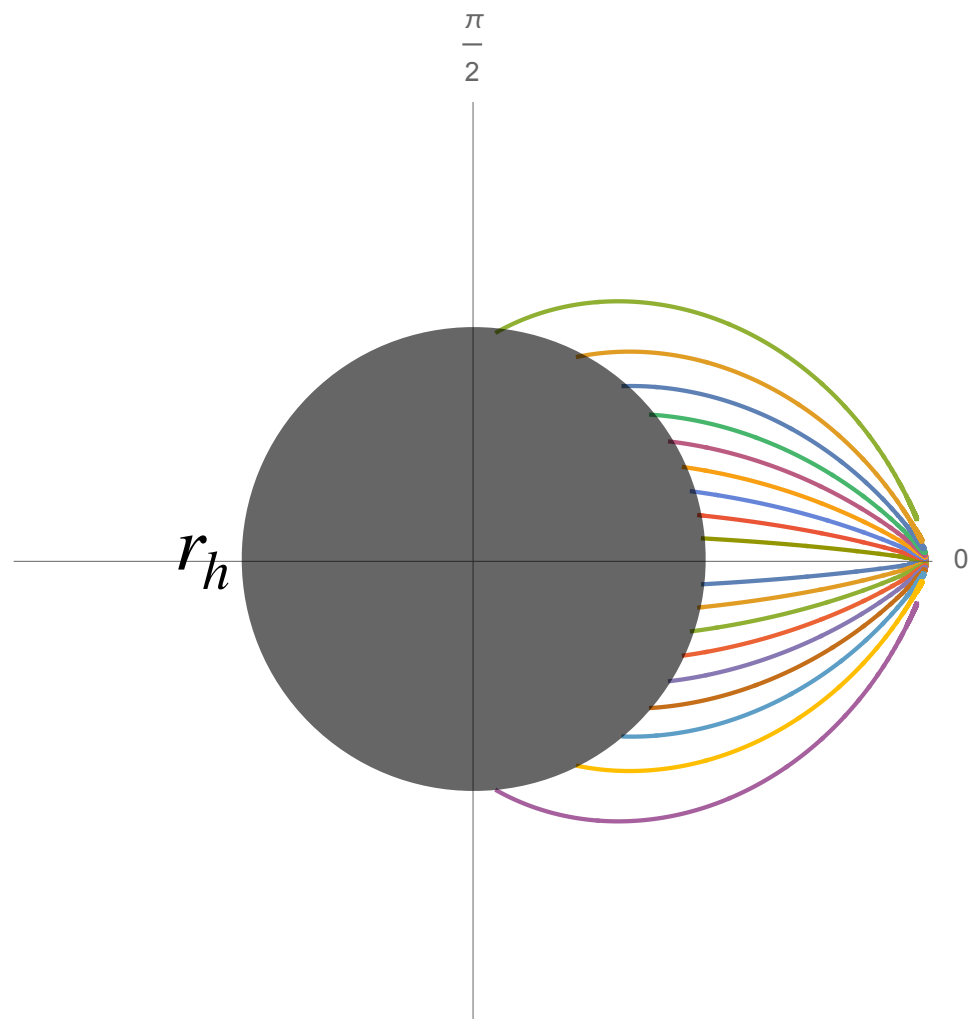
$$r_h = \frac{2\pi L^2}{\beta}$$

$$\text{AdSソリトン} : ds^2 = -r^2 dt^2 + \frac{L^2}{r^2 - r_s^2} dr^2 + \frac{r^2 - r_s^2}{L^2} d\theta^2$$

$$r_s = \frac{2\pi L^2}{a}$$

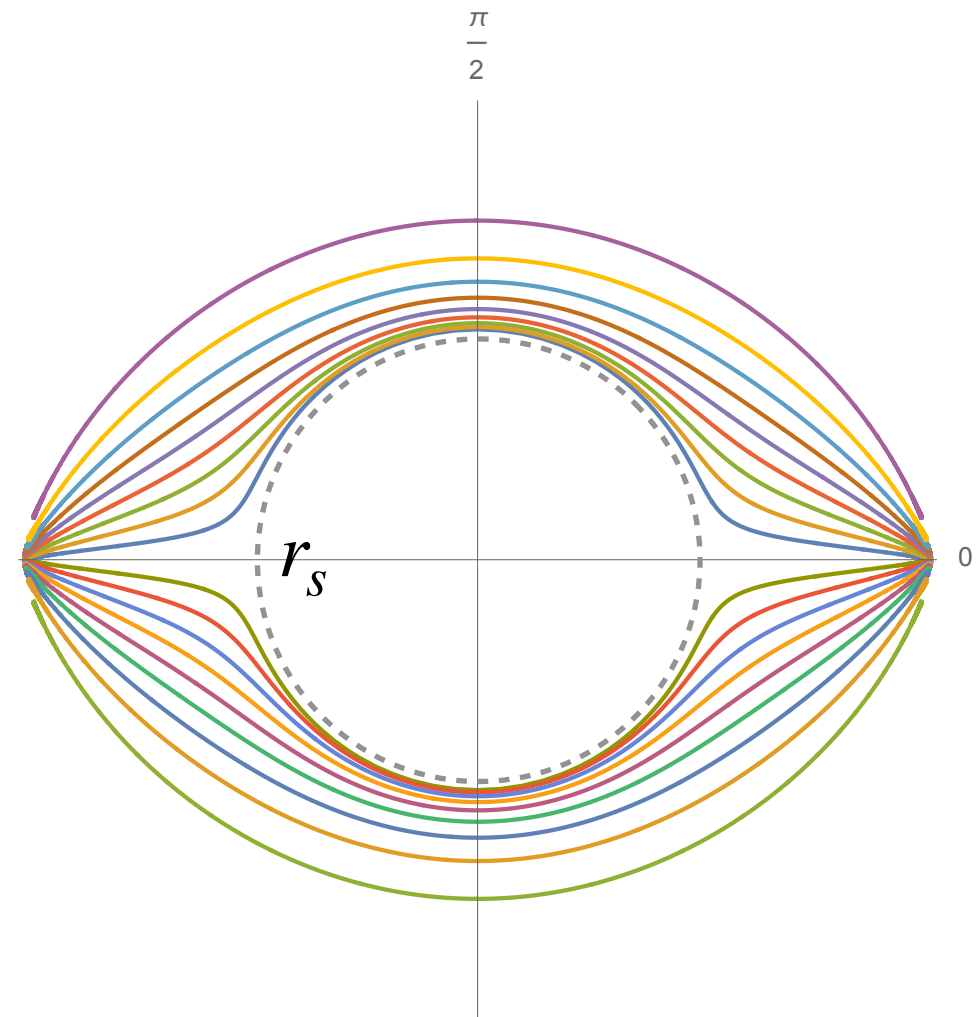
予想：AdSソリトンでは対蹠点が輝く

BTZ



ヌル測地線は境界に帰ってこない

AdSソリトン



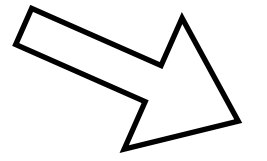
ヌル測地線が必ず対蹠点に届く

ソースをEOMに入力、応答を出力

AdS/CFTの辞書

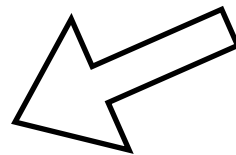
ソース入力

$$\Phi(x) \sim J(t, \theta) \quad (r \rightarrow \infty)$$



EOM

$$\frac{1}{\sqrt{-g}} \partial_M (\sqrt{-g} g^{MN} \partial_N \Phi(x)) = 0$$



応答の出力

g_{MN} : BTZ or AdSソリトン

$$\Phi(x) \sim J(t, \theta) + \frac{O(t, \theta)}{r^2} \quad (r \rightarrow \infty)$$

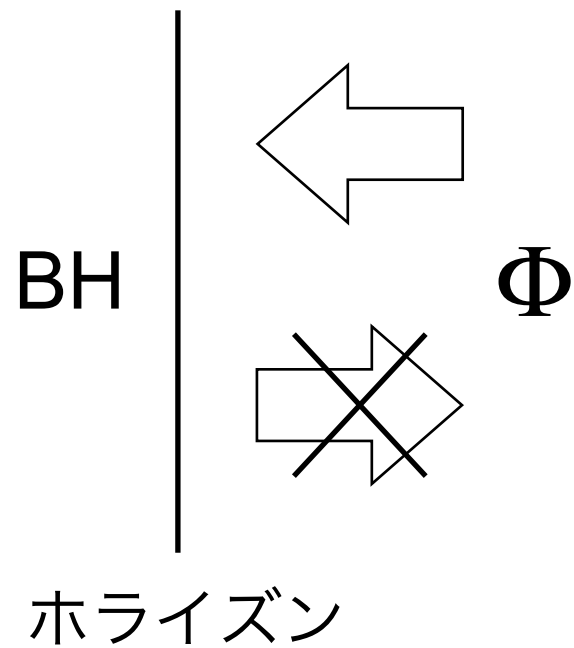
強制振動を取り出す $\rightarrow \Phi(x) = e^{-i\omega t} \sum_n e^{ik_n \theta} f_n(r) \quad k_n = \frac{2\pi n}{a}$

$$\rightarrow O(t, \theta) = e^{-i\omega t} \tilde{O}(\theta)$$

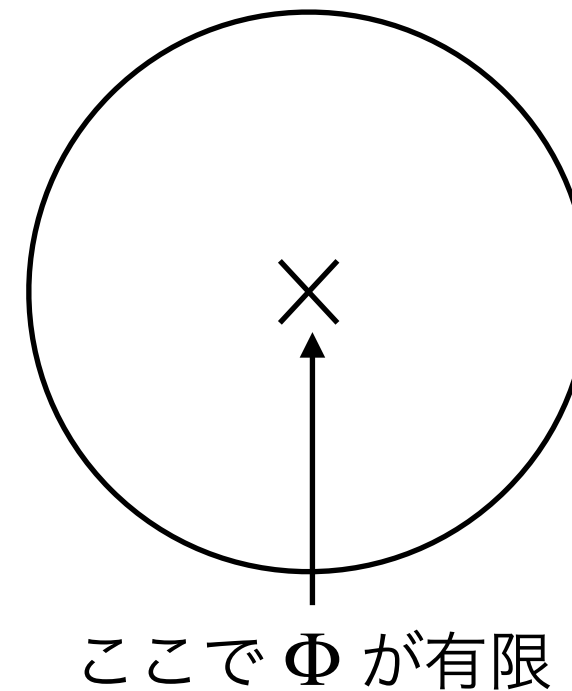
バルク内部の境界条件も必要

EOMを解くには境界条件が不足

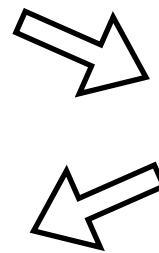
BTZ



AdSソリトン



$$\Phi(x) \sim J(t, \theta) \quad (r \rightarrow \infty)$$



$$\frac{1}{\sqrt{-g}} \partial_M (\sqrt{-g} g^{MN} \partial_N \Phi(x)) = 0 \quad + \text{バルク境界条件}$$

$$\Phi(x) \sim J(t, \theta) + \frac{O(t, \theta)}{r^2} \quad (r \rightarrow \infty)$$

SEMの応答関数

高温相 $a > \beta$

$$H_p = \gamma + \psi(p + 1)$$

$$O_{\text{BTZ}}(t, \theta) = \frac{r_h^2}{2} \sum_n e^{-i\omega t + ik_n \theta - 2\pi^2 \sigma^2 n^2} \left[1 + \frac{i\omega L^2}{2r_h} + \alpha_n \beta_n (H_{\alpha_n} + H_{\beta_n}) \right]$$

$$\alpha_n := -i \left(\frac{\omega L^2}{2r_h} + \frac{n\pi L^2}{ar_h} \right), \quad \beta_n := -i \left(\frac{\omega L^2}{2r_h} - \frac{n\pi L^2}{ar_h} \right), \quad \gamma_n := 1 + \alpha_n + \beta_n.$$

低温相 $a > \beta$

$$O_{\text{sol}}(t, \theta) = \frac{r_s^2}{2} \sum_n e^{-i\omega t + ik_n \theta - 2\pi^2 \sigma^2 n^2} \left[1 - \frac{\pi |n| L^2}{2ar_s} + \alpha_n \beta_n (H_{\alpha_n} + H_{\beta_n}) \right]$$

$$\alpha_n := \frac{\pi |n| L^2}{ar_s} - \frac{\omega L^2}{2r_s}, \quad \beta_n := \frac{\pi |n| L^2}{ar_s} + \frac{\omega L^2}{2r_s}, \quad \gamma_n := 1 + \alpha_n + \beta_n$$

光学イメージングで、物性の中からSEMを判別

1. セットアップ

リング上のQFTに局所ソース、応答をイメージング

2. non-SEMモデルの応答

リング上のスカラー場で、金属/絶縁転移

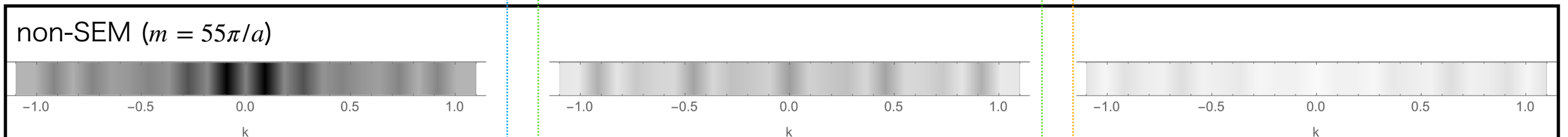
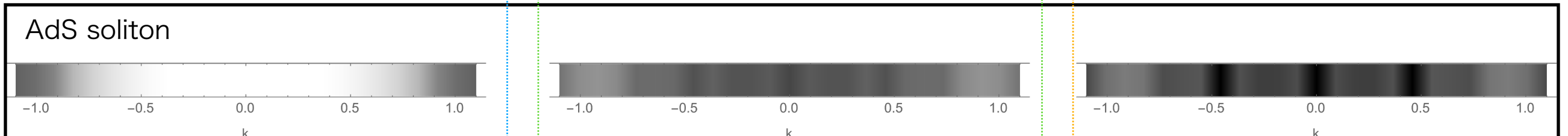
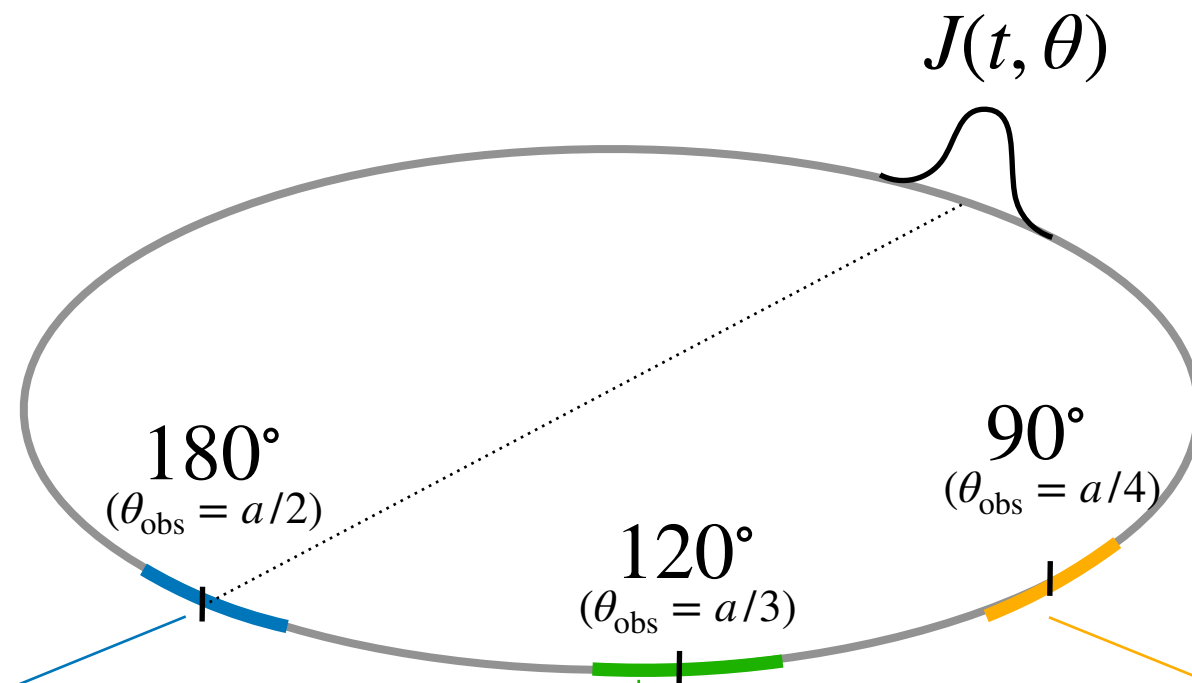
3. SEMモデルの応答

バルクの自由スカラー場で、AdSソリトン/BTZ転移

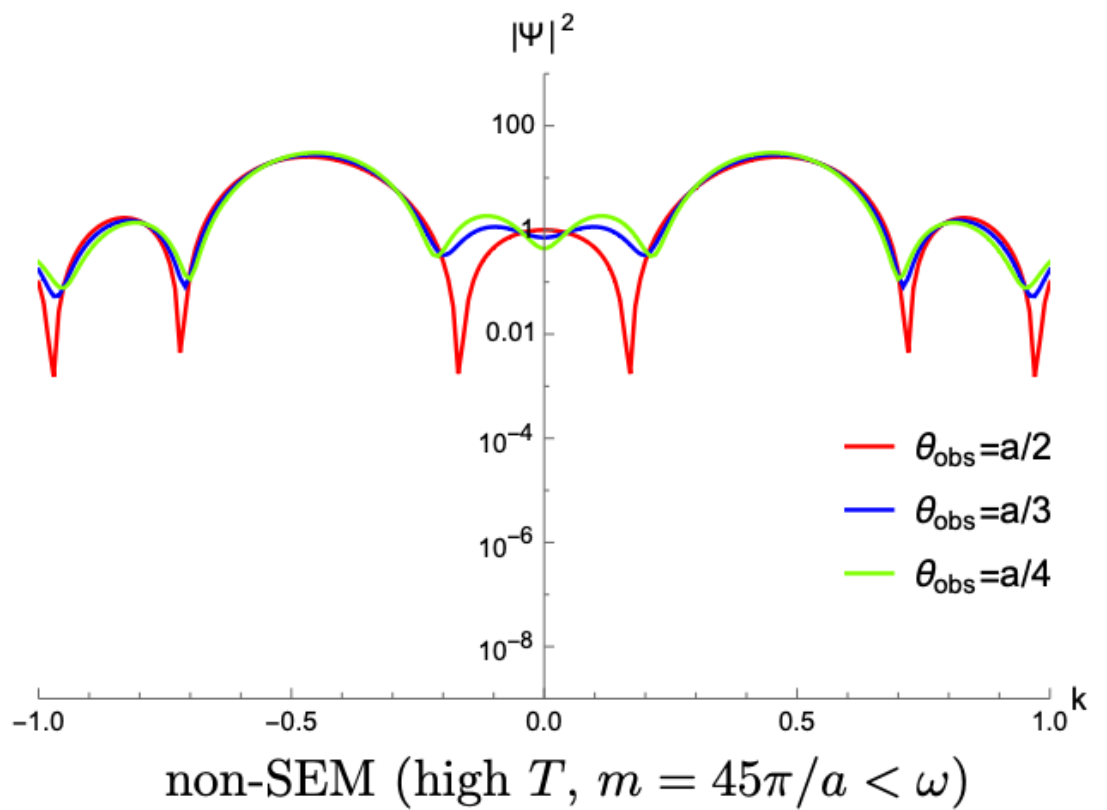
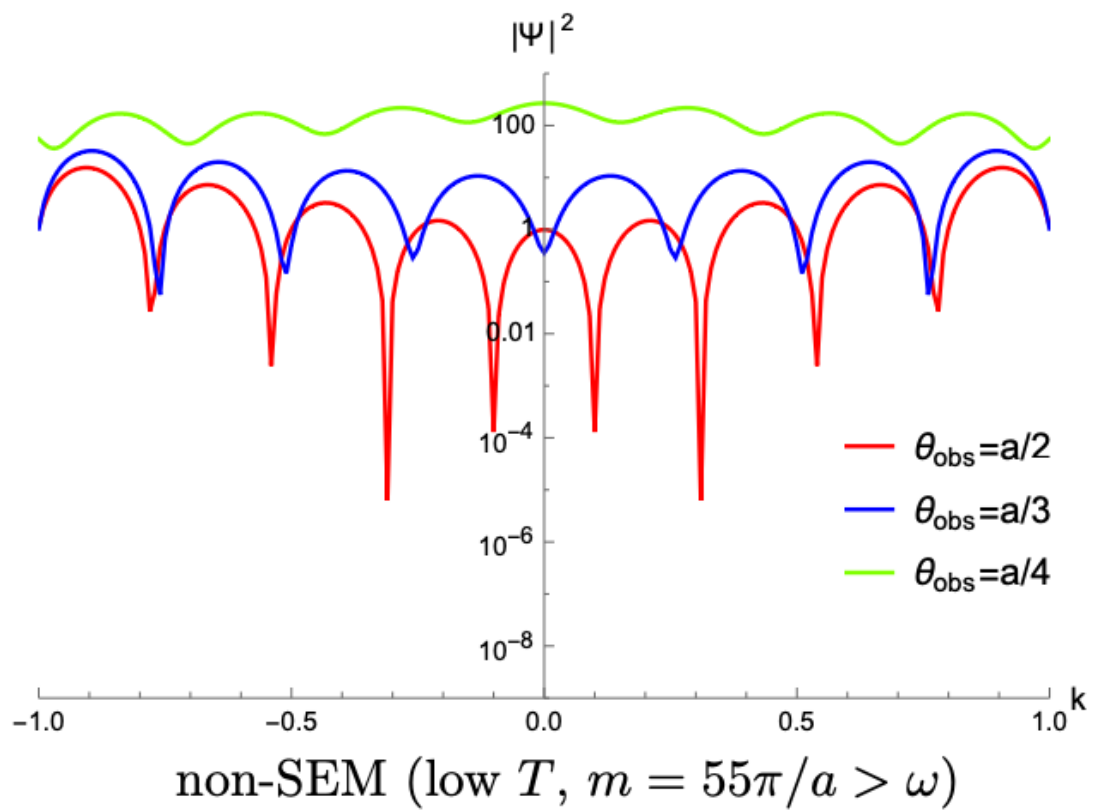
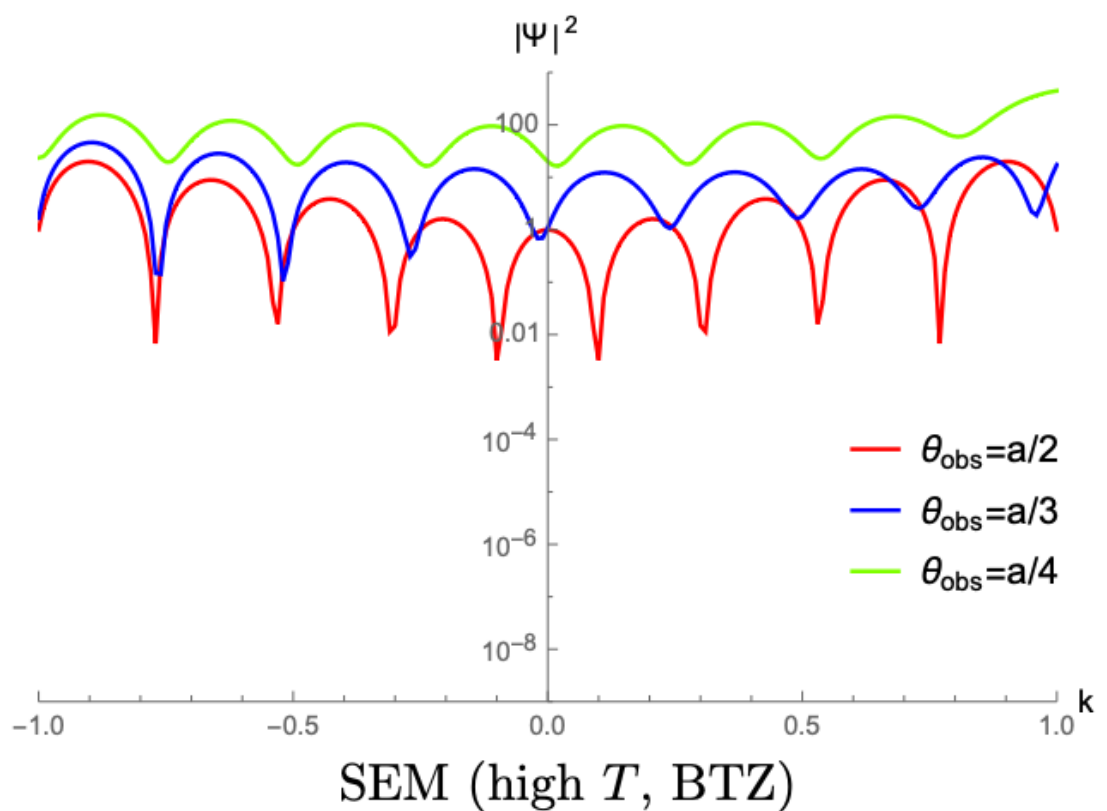
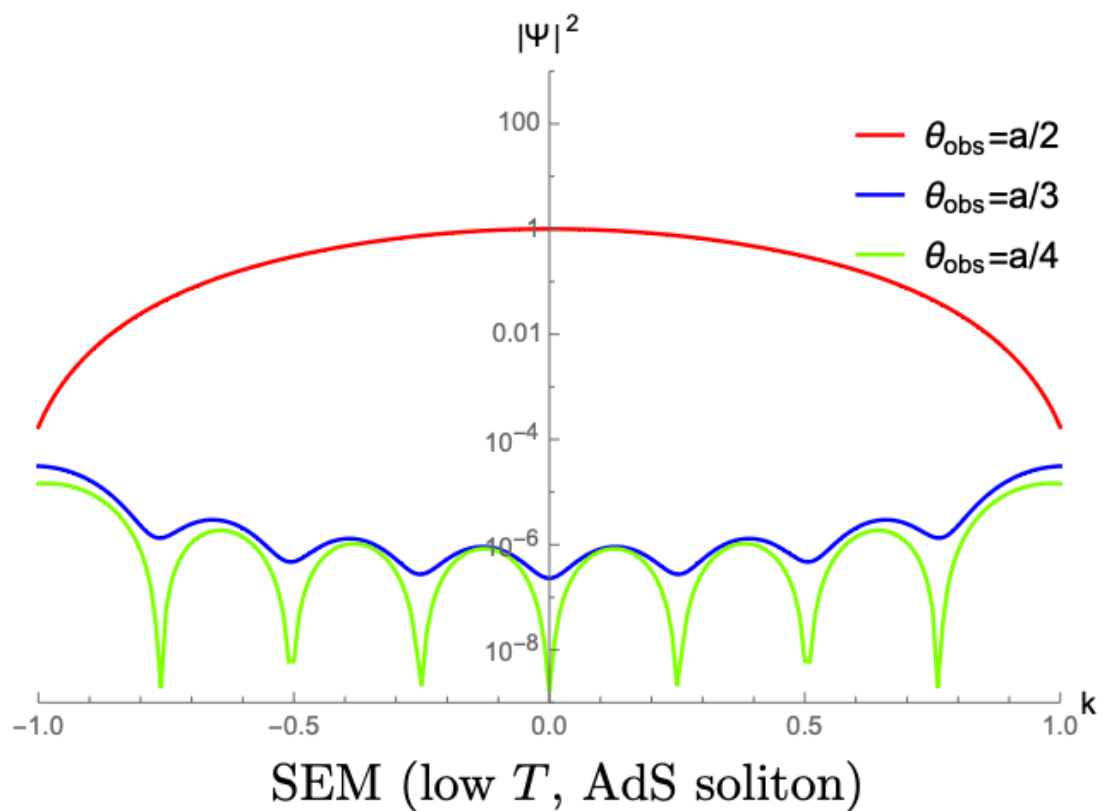
4. イメージングの実行

AdSソリトンでは対蹠点が輝く！

イメージング：AdSソリトンは対蹠点で輝く！



イメージング：AdSソリトンは対蹠点で輝く！



今回のSEMモデルの結果は堅い

スピンの変更、場の追加でも対蹠点が輝く

無質量であることは特殊ではない

場の相互作用は弱いはず

対称性から、背景時空は決まる

ノイズで輝きがぼやけても問題ない

共形対称性は $O(t, \theta)$ を決めない

J が小さいとき

$$\langle O(t, \theta) \rangle_J = \int dt' d\theta' J(t', \theta') \langle O(t', \theta') O(t, \theta) \rangle_{J=0}$$

CFTの2点相関は対称性で決定??

$$\frac{C}{|z - w|^{2\Delta}}$$

今はトーラス上のCFTなので決まらない

普通のCFT相関は温度依存

SEM相関は有限温度 = ゼロ温度

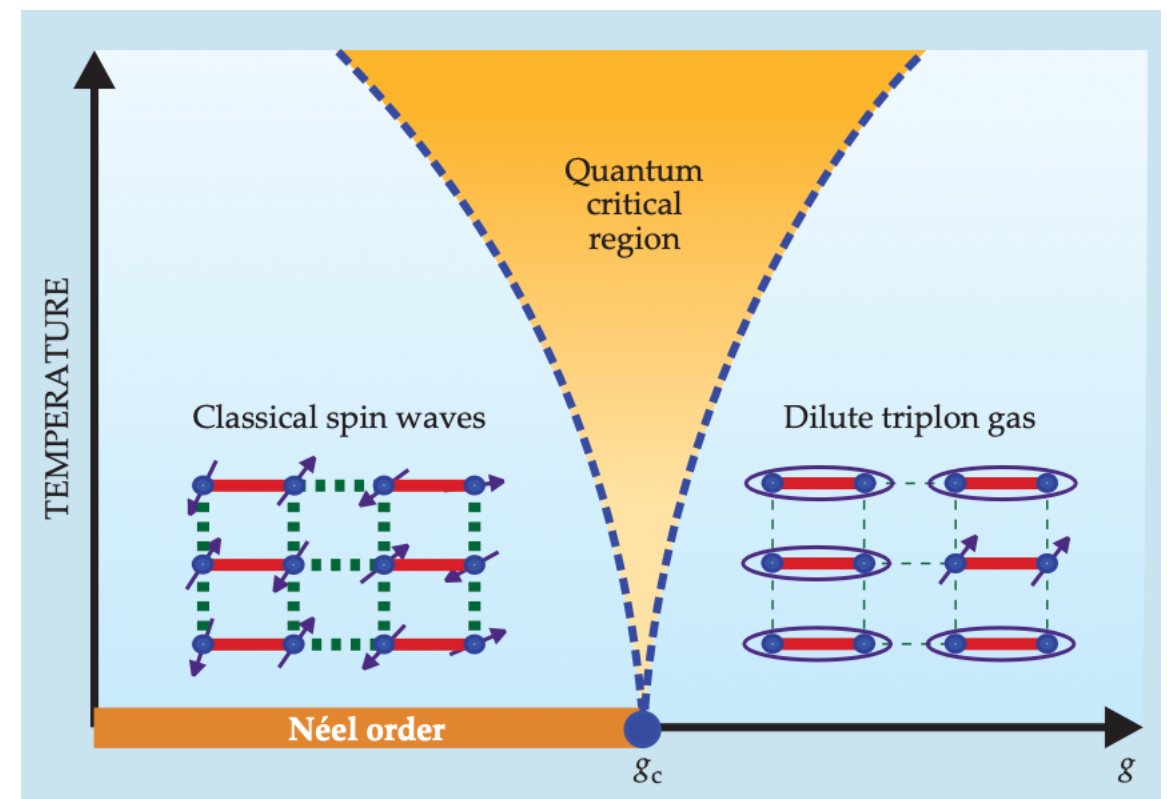
実験：TlCuCl₃のマグノン

実空間ではリング上を伝播

絶縁体

QCPに近づく

コヒーレント長が十分長い

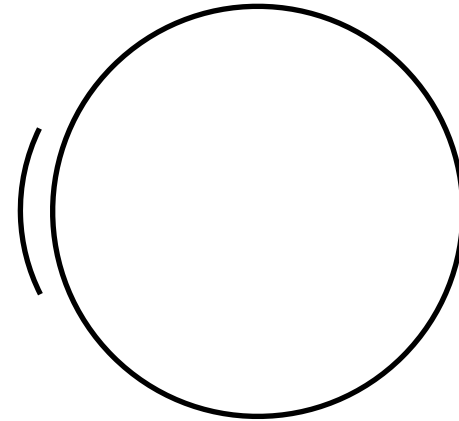


実験パラメータ、到達可能

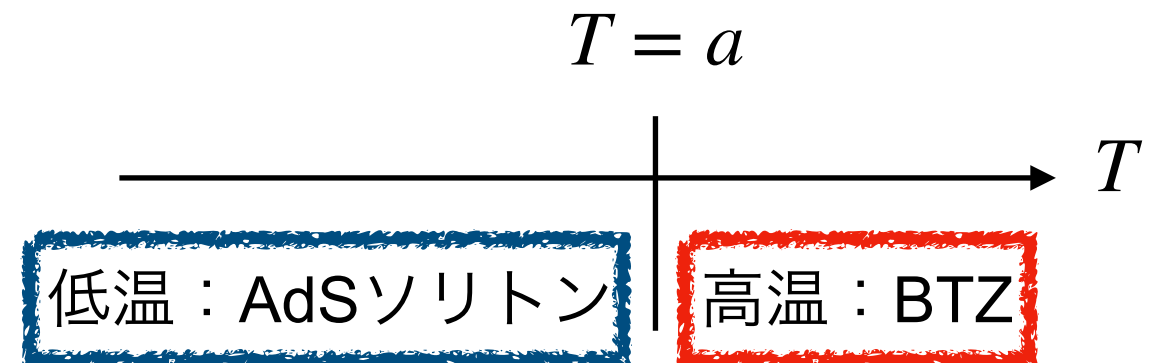
$$\text{解像度の条件} : \omega \gg \frac{2\pi v}{a}$$

v : マグノンの速度 $\sim 2.0 \times 10^3$ m/s

この範囲に
多くの波



$$\text{AdSソリトン相に到達} : \frac{v\hbar}{a} > k_B T$$



連続近似が良い : $a \gg 1$ nm

$$T_c \sim 0.1 \text{ K}, \quad a \sim 10 \text{ nm}$$

光学イメージングで、物性の中からSEMを判別

低温相で対蹠点を見る

量子臨界領域で、マグノンを対象に

実験可能： $T_c \sim 0.1$ K, $a \sim 10$ nm

実現に向かって

マグノンの速度が大きい物質

物性理論モデルの構築

高温超伝導のSEM

Kaku, Murata, Tsujimura (2021)

物性からバルク時空再構築